

群ゲイの水平抵抗に関する研究

斎藤二郎
崎本純治

Study on Lateral Resistance of Group Piles

Jiro Saito
Junji Sakimoto

Abstract

Although the behaviors of single piles subjected to lateral loads have been clarified by many studies based on both theoretical considerations and experiments, group pile behaviors have not yet been clearly understood. Therefore, the authors performed lateral load tests on field model group piles in order to clarify group pile behaviors, especially group effect. The model group piles used in these tests consisted of 9 piles, 60.5 mm diameter, arranged in a square pattern with each pile top fixed with reinforced concrete. Spaces were left open between footings and ground so that base shear would not occur. Tests of three cases, pile spacings of 2.5 D, 5 D and 10 D (D: pile diameter), were carried out. The test ground was virgin soil of Kanto loam. As a result of the tests, it was found that group effect is most remarkable in the case of pile spacing of 2.5 D, while almost no effect was seen in the case of pile spacing of 10 D. The efficiencies of group piles in the cases of spacings of 10 D, 5 D and 2.5 D were 0.9, 0.6 and 0.4, respectively. Sharing of load by each pile in a group is a maximum at front corner piles and a minimum at the center pile.

概要

水平力を受ける单ゲイの挙動に関しては、理論的、実験的にかなり解明されているが、群ゲイの挙動に関しては、殆んど明確にされていない。そこで、野外模型群ゲイによる水平載荷試験を実施し、群ゲイの挙動、とくに群ゲイ効果について調べた。試験に用いた群ゲイ試験体は、 $\phi 60.5$ mm の鋼管 9 本を正方形配置したもので、クイ頭はコンクリートフーチングで固定している。また、フーチングと地盤の間にはすきまを設け摩擦力が生じないようにしている。クイ間隔は 2.5 D, 5 D, 10 D (D : クイ直径) の 3 ケースとした。実験地盤は自然堆積関東ロームである。実験の結果、群ゲイ効果はクイ間隔の狭い 2.5 D の場合が一番顕著で $e=0.4$ 、クイ間隔 5 D で $e=0.6$ 、クイ間隔の広い 10 D になると $e=0.9$ とほとんど現われないことがわかった。また、群ゲイ各クイの分担荷重は前部端部ゲイが最大で、中心ゲイが最小であることなどが明らかになった。

1. まえがき

群ゲイの水平抵抗を算定する際、群ゲイ効果、つまり群ゲイの効率低下が問題となる。この群ゲイ効果は地盤の種類、クイ間隔、クイ本数、固定度などによって変化するとされ、いくつか算定式も提案されているがいまだに決定的なものはない。本研究は、群ゲイ効果に影響するこれらのファクターのうちクイ間隔に着目し、野外における模型群ゲイの水平載荷試験を行なって、クイ間隔の違いによる群ゲイ効果の差異、群ゲイ中の各クイの挙動の差異、クイ間の地盤あるいは周辺地盤の挙動の差異を調べたものである。試験結果が群ゲイ効果の実用的な

算定手法の確立のための一助となれば幸いである。

2. 試験

概要

2.1. 試験地盤

本試験の実施場所である当社技術研究所は東京都清瀬市下清戸地内に所在して

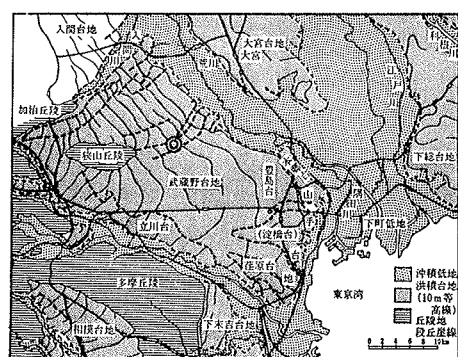


図-1 試験地付近の地形区分

おり、図-1において武藏野台地に属し(図中○印)、地盤は主として関東ローム層(GL-0.5 m~GL-7 m)と段丘砂レキ層によって構成されている。試験は表層部の腐植物を含んだ層を1 m 取除いた自然堆積の関東ローム層を対象に行なった。試験地盤の土質試験結果を図-2に示す。なお、一軸圧縮試験における破壊ひずみは2%程度であり、地下水位はGL-15 m 前後である。

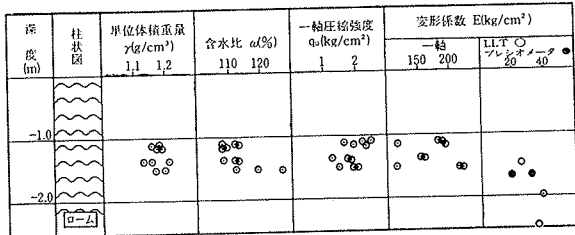


図-2 土質試験結果

2.2. 試験体

模型ゲイは、地盤の固さとクイの剛性ならびに施工性を考慮して表-1に示す諸元の鋼管を使用した。

材質	クイ径 (mm)	内厚 (mm)	クイ長 (mm)	弹性係数 (kg/cm²)	断面積 (cm²)	断面2次モーメント (cm⁴)
一般構造用炭素鋼管(STK41)	D=60.5	t=2.3	L=2,300	E=2.1×10⁶	A=4.21	I=17.8334

表-1 模型ゲイの諸元

本試験では各クイの挙動を明らかにするためクイのひずみを測定した。ひずみの測定にはひずみゲージを使用した。図-3にひずみ測定位置を示す。ひずみゲージはアラルダイトで厚くコーティングして打設時の衝撃による破損と水の浸入による絶縁抵抗の劣化を防ぐようにした。コーティングによるクイ剛性の増加はキャリブレーション試験結果によると4%以下を示し無視した。

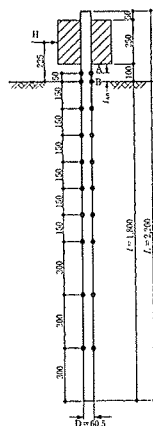


図-3 ひずみ測定位置

試験体として単ゲイ2体、群ゲイ6体を作成した。同一条件の試験体が2体あるのは、試験の信頼性を確認するためである。図-4に試験体の配置を示す。図中の黒丸印はひずみ測定ゲイを示す。群ゲイはクイ本数9本の正方形配置とし、クイ頭部を厚さ25 cm のRCフーチングで結合してクイ頭固定とした。クイ間隔は2.5 D, 5 D, 10 D の3ケースとした。クイの地盤への根入長 l はクイが半無限長のクイとみなせる条件、 $\beta l > 3$ を満足するように $l = 180$ cm とした。クイの打込みは真矢打ち方式によった。試験後に試験体を取出して調べた結果、打込みの鉛直精度は1/100以内に納まっており良好であったことが確認された。

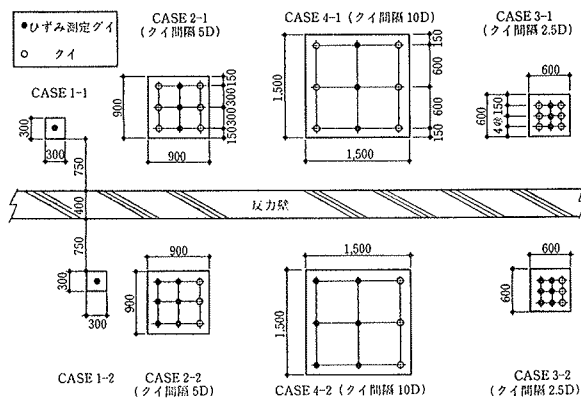


図-4 試験体の配置

2.3. 試験方法および試験装置

加力は急速多サイクル方式とした。荷重保持時間は処女荷重時、履歴荷重時とも1~2分とした。図-5に載荷試験装置と計測器の配置を示す(各試験ケースを代表してクイ間隔2.5 Dについて示した)。

加力高さ(地上からフーチング中央点までの距離)は22.5 cm である。フーチングに加力した水平力をすべてクイに作用させるためフーチングと地盤の間にすきまを設けてベースシアーを切った。載荷試験状況を写真-1に示す。

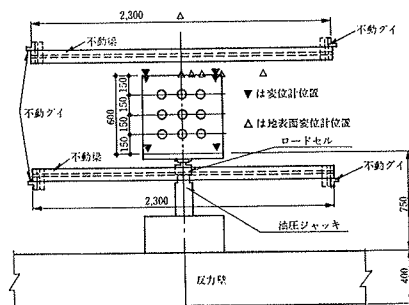


図-5 載荷試験装置図

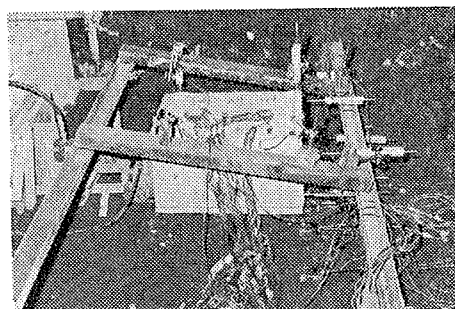


写真-1 載荷試験状況

3. 試験結果とその考察

3.1. 水平変位

図-6は単ゲイ、群ゲイの水平荷重(処女荷重)とフーチング水平変位(フーチング中央点変位)を両対数表

示したものである。なお以後ことわらないかぎりフーチング水平変位はフーチング中央点の水平変位を示す。単グイに関しては Case 1-1 と Case 1-2 で多少変位性状が異なっているがこれは Case 1-2 の試験体位置で若干土質に差があったのが原因と思われる。しかし群グイに関しては同一条件での 2 体の試験結果は良い対応を示しており、試験地盤の均一性が確認された。

同一荷重に対する群グイのフーチング水平変位はクイ間隔が狭くなるにしたがい大きくなっている。つまりクイ間隔 10 D で最小、2.5 D で最大を示した。

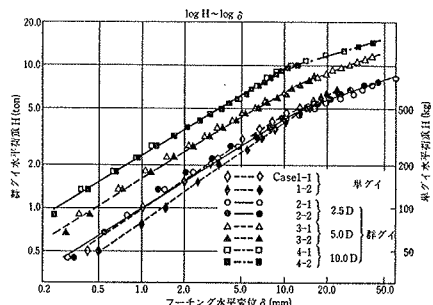


図-6 荷重—フーチング水平変位

3.2. 曲げモーメント

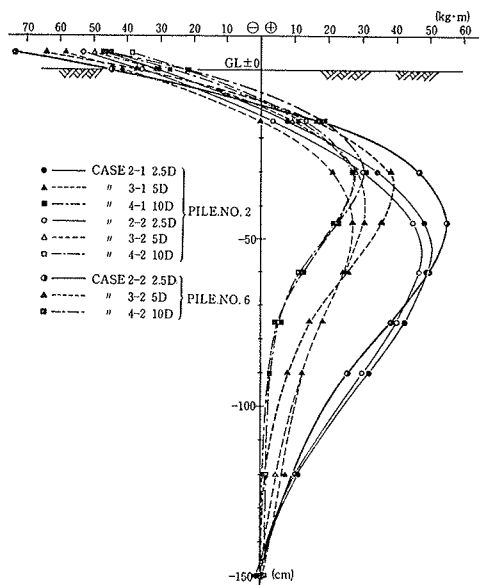


図-7 曲げモーメント分布

図-7 は各々のフーチングに水平力 3,600 kg (クイ 1 本当りの平均荷重 400 kg) が作用したときの No. 2 グイ、No. 6 グイの曲げモーメント分布を示す。ここに No. 2 グイ、No. 6 グイとは図-8 に示す

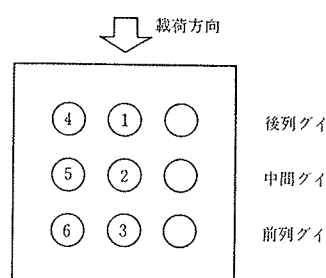


図-8 クイ番号

ようにそれぞれ中心グイ、前列端部グイのことである。地中部最大曲げモーメントとクイ頭部曲げモーメントはいずれもクイ間隔が 10 D, 5 D, 2.5 D と狭くなるにしたがって大きくなっている。また地中部最大曲げモーメント、クイ頭部曲げモーメントとも前列端部グイが大きく、中心グイが小さい。しかしこの傾向はクイ間隔の広い 10 D ではあまりみられず、前列端部グイと中心グイの曲げモーメントにほとんど差がない。地中部最大曲げモーメント発生位置はクイ間隔が狭くなるにしたがって深くなっている。

3.3. 地盤反力

図-9 はクイの水平抵抗に大きく寄与する地表面付近

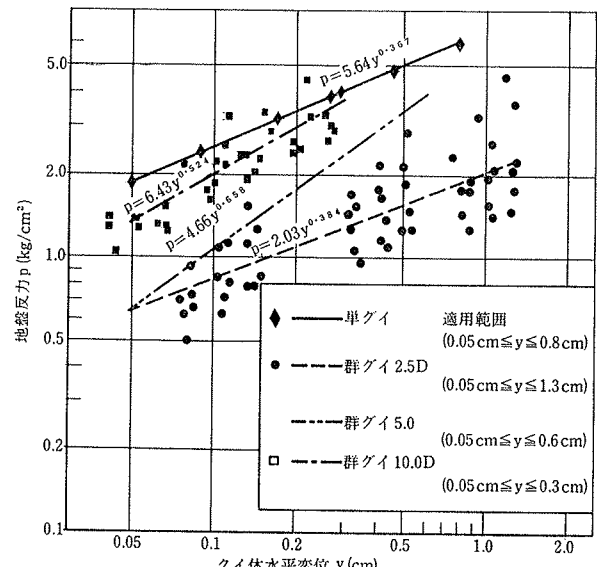


図-9 地盤反力とクイ体水平変位

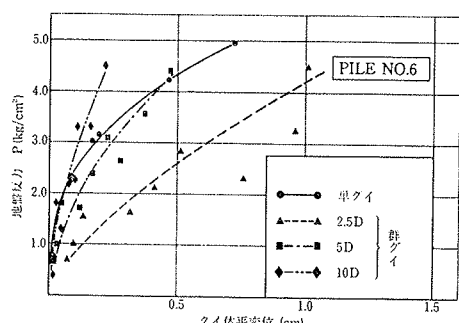
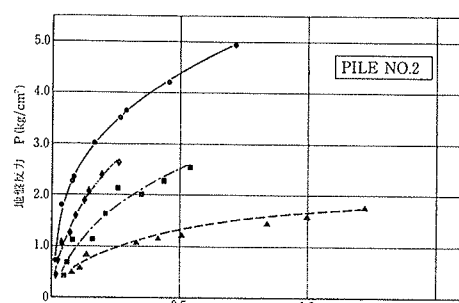


図-10 No. 2 グイ、No. 6 グイの地盤反力とクイ体水平変位

(試験地盤面から -10 cm, -20 cm, -30 cm) における地盤反力とクイ体水平変位の関係を両対数表示したものである。同一変位に対する地盤反力は单ゲイが一番大きく、群ゲイのクイ間隔 10 D がそれとほぼ同じ大きさを示し、5 D, 2.5 D とクイ間隔が狭くなるにしたがって小さくなる傾向が認められた。これは群ゲイ各クイの相互干渉による影響がクイ間隔の狭いものに大きく現われるためと思われる。図-10に No. 2 ゲイと No. 6 ゲイの地盤反力とクイ体水平変位の関係を示す。中心ゲイである No. 2 ゲイの地盤反力はクイ間隔の広い 10 D においても单ゲイの地盤反力の 8 割程度で少なからず群ゲイとしての影響がみられる。これに対し前列端部ゲイである No. 6 ゲイの地盤反力はクイ間隔 5 D でも单ゲイとほぼ等しく群ゲイによる低減効果がみられない。以上のことから群ゲイ各クイに作用する地盤反力がクイ間隔だけでなく、クイ位置によっても相違することがわかる。またクイ間隔 2.5 D における No. 2 ゲイの地盤反力はクイ体水平変位の増大にもかかわらず変化していない。これは群ゲイ各クイの相互干渉がこの条件のとき最大となり、地盤が塑性化したためと思われる。

3.4. 横方向地盤反力係数

図-11にY. L. Chang の式を用いて逆算した横方向地盤反力係数（以後K値と呼ぶ）とフーチング水平変位との関係を示した。ここで群ゲイのK値の算定に際してはクイ頭拘束条件は完全固定とし、荷重はクイ 1 本当に作用する平均荷重としている。单ゲイ、群ゲイ各ケースともK値は水平変位が大きくなるにしたがって減少し、水平変位が 0.1 cm 以上の領域ではほぼ対数比例的に減少している。K値とクイ間隔の関係は同一変位に対してクイ間隔 10 D のK値が最大で、クイ間隔が 5 D, 2.5 D と狭くなるにしたがってK値は小さくなっている。K値を单ゲイと群ゲイについて比較すると群ゲイのK値は单

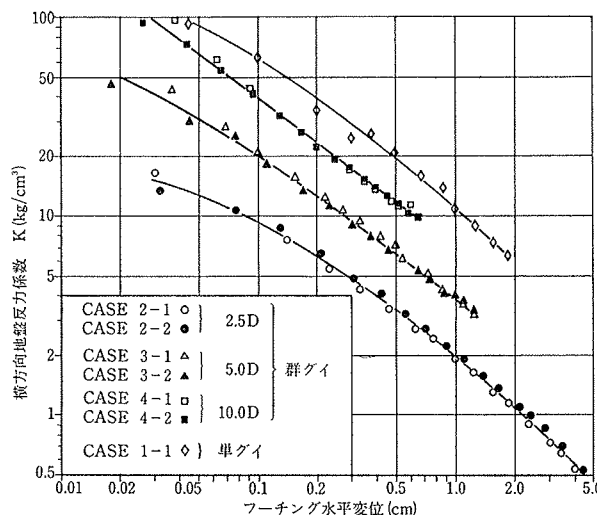


図-11 横方向地盤反力係数とフーチング水平変位

ゲイのK値よりも小さくなっている。群ゲイの中で最大の値を示すクイ間隔 10 D で单ゲイの 6~8 割、クイ間隔 5 D で 3~4 割、最もクイ間隔の狭い 2.5 D では 2 割程度に減少している。以上の結果からクイ頭自由の单ゲイ試験から求めたK値をクイ頭固定の群ゲイに適用する場合は、クイ間隔に応じたK値の低減を考えなければならないことがわかる。

3.5. 群ゲイ各クイの分担荷重

群ゲイ各クイの分担荷重の大小をわかりやすく表現するため各クイの分担荷重比を次式により算定した。

$$i \text{ ゲイの分担荷重比 } G_i = \frac{S_i}{(\sum S_i)/n}$$

ここに、 S_i : i ゲイのクイ頭セン断力

$$S_i = (M_A - M_B)/l_{AB}, \text{ (図-3 参照)}$$

n : クイ本数、本試験では $n=9$

図-12に群ゲイ各クイの分担荷重比とフーチング水平変位との関係を示す。分担荷重比は各クイ間隔に共通して前列端部ゲイである No. 6 ゲイが 1.2~1.3 と大きく、中心ゲイである No. 2 ゲイが 0.8 と小さくなっている。これは各クイの相互干渉による影響が No. 6 ゲイの位置で小さく、No. 2 ゲイの位置で大きいことに起因する。No. 2 ゲイはクイ間隔の広い 10 D においても分担荷重比が 0.8 を示し、位置的に他ゲイの干渉を受けやすいことがわかる。クイ位置と分担荷重比の関係についてみると後列ゲイの No. 1 ゲイと No. 4 ゲイの分担荷重比は水平変位の増加に伴い小さくなる傾向を示し、前列ゲイの No. 3 ゲイと No. 6 ゲイは逆に水平変位の増加に伴い大きくなる傾向を示す。中間ゲイの No. 2 ゲイと No. 5 ゲイ

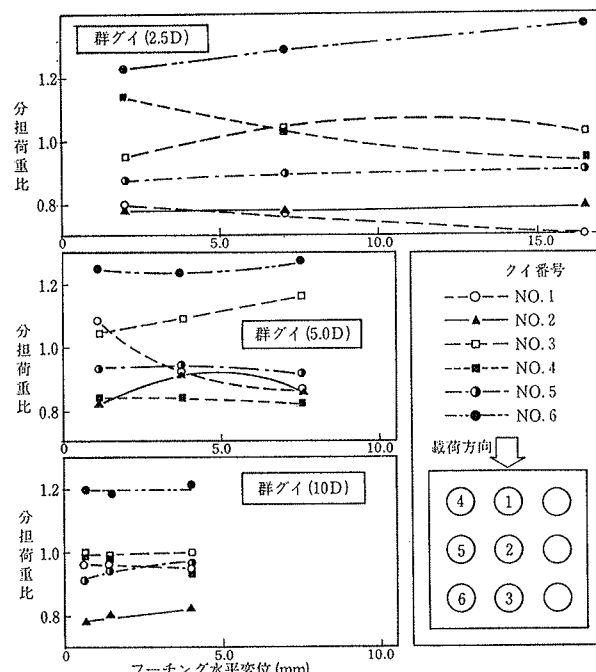


図-12 分担荷重比とフーチング水平変位

イはクイの水平変位の変化にはほとんど関係なく一定の分担荷重比を示した。

3.6. 群ゲイ効果

群ゲイ効率すなわち群ゲイ効果 e を以下に示す一般的な算定式によって求めた。

$$\text{群ゲイ効果 } e_P = \frac{\text{群ゲイの支持力}}{(\text{单ゲイの支持力} \times \text{群ゲイのクイ本数})}$$

$$\text{群ゲイ効果 } e_D = \frac{\text{一定荷重に対する单ゲイの変位}}{(\text{一定荷重} \times \text{クイの本数}) \text{に対する群ゲイの変位}}$$

ここに、单ゲイはクイ頭自由の結果を Y. L. Chang の式によりクイ頭固定に変換したもの用い、单ゲイ、群ゲイの支持力は一定変位に対する荷重をとった。なお一定変位として $\delta = 2 \text{ mm}, 5 \text{ mm}$ を与え、一定荷重として $P = 200 \text{ kg}, 400 \text{ kg}$ を用いた。図-13に群ゲイ効果 e_P , e_D とクイ間隔 λ をクイ径 D で除した λ/D の関係をしめす。群ゲイ効果 e_P , e_D はクイ間隔が狭くなるにしたがって小さくなる傾向にある。すなわち群ゲイの影響はクイ間隔が狭くなるほど顕著に現われる傾向を示した。クイ間隔 10D, 5D, 2.5D に対して e_P は 0.9, 0.6, 0.4, e_D は 0.7~0.9, 0.4, 0.2 である。

以上に示した群ゲイ効果はクイ頭の回転が拘束された条件で算定されたものであるが、実際の群ゲイには“ロッキング現象”が生じる。そこで回転に基づく固定度³⁾を考慮した群ゲイ効果 $e_{D'}$ の算定を行なった。結果を図-13に示す。固定度を考慮した群ゲイ効果 $e_{D'}$ は固定度を考慮していない群ゲイ効果 e_D に比べてクイ間隔 10D ではほとんど差がないが、クイ間隔が狭くなった 5D, 2.5D では明らかな差が認められる。各種算定法による各クイ間隔の群ゲイ効果 e について調べたが、以下に群ゲイ周辺地盤の挙動に基づく群ゲイ効果の検討を行なった。図-14は前列ゲイのクイ中心から 2.5D 離れた位置における載荷直角方向の地表面水平変位分布を示す。なお、この変位分布は地表面におけるクイ体水平変位を各

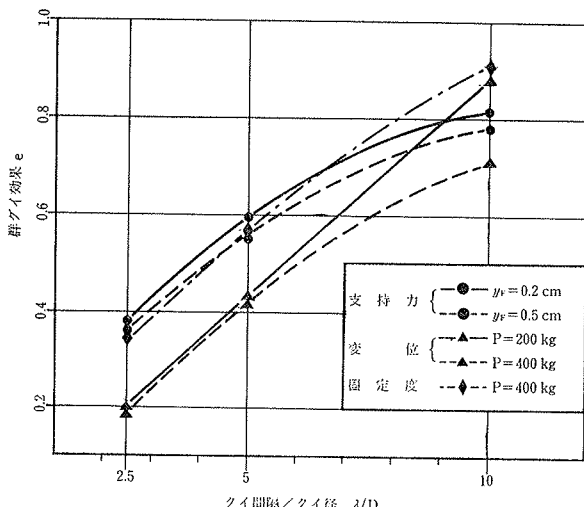


図-13 群ゲイ効果とクイ間隔

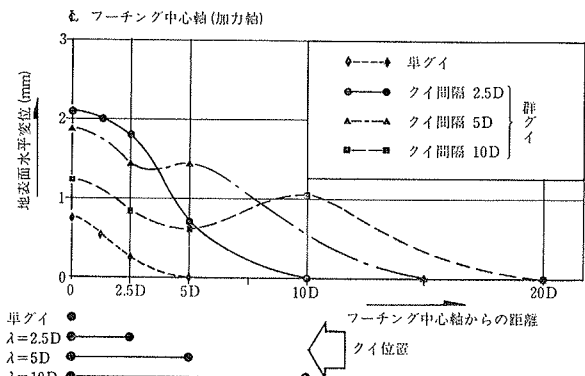


図-14 地表面変位分布

試験ケースとも 5 mm として求めたものである。フーチング中心軸における地表面水平変位はクイ間隔の狭い、2.5D が最大となり、クイ間隔 5D, 10D, 単ゲイの順に小さくなっている。地表面水平変位は群ゲイ各クイの相互干渉が顕著になるほど大きく現われるため、クイ間隔が狭いものほど群ゲイによる影響を大きく受けていることがわかる。地表面変位分布は、クイ間隔 2.5D の場合、单ゲイと類似した変位分布を示す。つまり各クイとクイにはさまれた地盤が一体となり、あたかも群ゲイ全体が 1 本のクイとして挙動しているような分布を示す。クイ間隔 10D の場合、各クイ位置で変位が大きく、各クイの中間位置で変位が小さくなるような分布を示し、各クイが单ゲイ的に挙動しているのがわかる。クイ間隔 5D の場合はクイ間隔 10D と 2.5D の中間的な傾向をしめしている。

4. あとがき

関東ローム層において、長柱条件を満たすクイ間隔 10D, 5D, 2.5D の群ゲイ（クイ本数 9 本の正方形配置）と单ゲイについて水平加力試験を行なった結果以下のことが判明した。

(1) クイ間隔の狭いものほど群ゲイ効果は顕著に現われ、クイ間隔 10D, 5D, 2.5D のそれぞれに対し、群ゲイ効果 e は 0.9, 0.6, 0.4 を示した。

(2) 群ゲイ各クイの分担荷重と地盤反力はいずれも前列端部ゲイが最大で、中心ゲイが最小を示した。また、クイ間隔の変化に対して各クイの分担荷重にはあまり差が認められないが、地盤反力はクイ間隔が狭いものほど小さくなっている。

参考文献

- 1) 宮本, 沢口: 群ゲイの横抵抗に対するクイ間隔の影響(第一報), 港湾技術研究所報告, Vol. 10, No. 4, (1971.12)
- 2) 西田, 他: 群杭の水平抵抗分担率と群杭効果に関する実験, 金沢大学工学部紀要, Vol. 7, No. 1, (1973.2)
- 3) 玉置, 他: 水平抵抗における群杭効果の研究, 土木学会論文報告集, No. 192, (1971.8)